

И. А. Поташников

## ИЗГИБНЫЕ РЕЗОНАНСНЫЕ ВОЛНЫ В ОБОЛОЧКЕ С ПРИСОЕДИНЕНИЯМИ МАССАМИ

В публикациях, посвященных изучению нестационарного деформирования про-тяженных цилиндрических конструкций под действием движущейся поверхностью на-грузки (см., например, [1—3]), существенное внимание уделяется анализу дисперсион-ных кривых (зависимости фазовой скорости  $c$  от волнового числа  $q$ ), который позво-ляет выявить особые точки  $(q_*, c_*)$ , где фазовые и групповые ( $c_g = c + qdc/dq$ ) ско-росты равны. В [2] показано, что группы волн с длинами, близкими к  $2\pi/q_*$ , распро-страняются почти без дисперсии и формируют волновой пакет с квазистационарной оги-бающей, движущийся с постоянной скоростью  $c_*$ . Величина  $c = c_*$  определяет кри-тическую скорость движения нагрузки. Численное моделирование изгибных резо-наансных волн в цилиндрической оболочке проведено в [4], а в более сложной системе — оболочке с амортизированной средой — в [5], где также показано, что средневолновая часть спектра в зависимости от параметров системы может иметь различное число осо-бых точек, причем, несмотря на одинаковую степень роста резонансных волн, опре-деляемую асимптотикой, качественная картина развития возмущений при разных  $c_{j*}$  ( $j = 1, \dots, m$ ;  $m$  — число особых точек) различна. Этот факт, обнаруженный в чис-ленном эксперименте, потребовал теоретического обоснования и дополнительного ана-лиза результатов, что проведено ниже.

Рассматривается чисто изгибное напряженное состояние бесконечно длинной тонкой цилиндрической оболочки, контактирующей со средой плотности  $m_0$  и частотой амортизации  $f^2$ . Система уравнений движения при моделировании среды инерционными массами имеет вид

$$(1.1) \quad \ddot{w} = -\varepsilon w_{,x}^{(IV)} - w + h^{-1}\bar{m}_0 f^2 (W - w) + Q_1 h^{-1}, \\ \ddot{W} = f^2 (w - W) + Q_2 m_0^{-1}, \quad \varepsilon = h^2/12, \quad \bar{m}_0 = m_0/\rho,$$

где  $w$ ,  $W$  — перемещения оболочки и амортизированных масс;  $Q_{1,2} = A_{1,2} H_0(t) H_0(c_0 t - |x|)$  — приложенные к оболочке и массам нагрузки ( $A_{1,2}$  — амплитуды,  $H_0(z)$  — функция Хевисайда);  $h$  — толщина оболочек; единицами измерения служат скорость звука в тонкой пластине  $c_p = \sqrt{E/[\rho(1-v^2)]}$ , плотность материала оболочки  $\rho$  и ее радиус  $R$ .

Вследствие симметрии нагрузки достаточно рассмотреть область  $x \geqslant 0$ , тогда в плоскости  $x = 0$  должны выполняться граничные условия  $w_{,x} = w_{,xx}'' = 0$  ( $x = 0$ ). Начальные условия нулевые, а при  $x \rightarrow \infty$  ста-вится условие излучения  $w, W \rightarrow 0$  ( $x \rightarrow \infty$ ).

Применим к (1.1) интегральные преобразования Лапласа по  $t$  (с па-раметром  $p$ ) и Фурье по  $x$  (с параметром  $q$ ). Двукратной трансформантой придадим значок  $( )^{LF}$ . Тогда решение в изображениях запишется так:

$$(1.2) \quad w^{LF} = \frac{(p^2 + f^2) Q_1^{LF} + f^2 Q_2^{LF}}{hA(p, q)}, \\ W^{LF} = \frac{(p^2 + \varepsilon q^4 + 1) h m_0^{-1} Q_2^{LF} + f^2 (Q_1^{LF} + Q_2^{LF})}{hA(p, q)},$$

где  $A(p, q)$  — дисперсионный оператор;

$$(1.3) \quad A(p, q) = (p^2 + \varepsilon q^4 + 1)(p^2 + f^2) + h^{-1} \bar{m}_0 f^2 p^2.$$

Рассмотрим дисперсионные свойства гармонических волн, распро-страняющихся в исследуемой системе. В (1.3) положим  $p = iq c$  ( $q$  — волновое число,  $c$  — фазовая скорость) и приравняем его нулю. В результате получим уравнение второй степени относительно  $c^2$ , определяющее две моды гармонических колебаний. Его корни имеют вид

$$(1.4) \quad c_1(q) = \sqrt{(a - b)/2}, \quad c_2(q) = \sqrt{(a + b)/2}, \quad a = dq^{-2} + \varepsilon q^2, \\ b = \sqrt{a^2 - 4f^2(1 + \varepsilon q^4)q^{-4}}, \quad d = f^2(1 + h^{-1}\bar{m}_0) + 1.$$

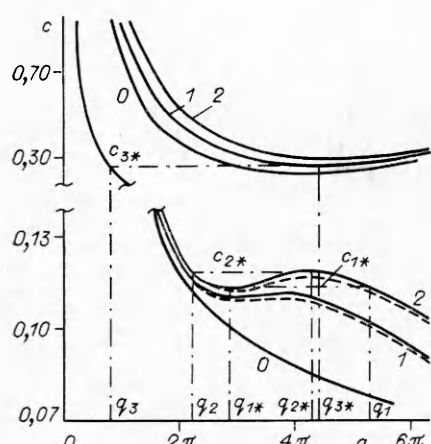


Рис. 1

Здесь в зависимости от жесткости оболочки, плотности среды, частоты амортизации возможно появление на дисперсионной кривой первой (нижней) моды различных экстремумов ( $c_{j*}$ ,  $j = 1, 2$ ) — минимума, максимума, точки перегиба, при этом вторая мода всегда имеет минимум  $c_{3*}$  (рис. 1, сплошные кривые; номерами 0, 1, 2 соответствуют  $f^2 = 1; 3,6; 4,9$ ,  $m_0 = 0,05$ ). Из рис. 1 видно, что прямые  $c = c_{j*}$  ( $f^2 > 3,6$ ), имея касание с фазовыми кривыми в точках  $q = q_{j*}$ , в то же время пересекают кривую первой моды в точках  $q_j$  ( $j = 1, 2, 3$ ). Таким образом, при движении нагрузки с критической скоростью  $c_{j*}$  в системе одновременно формируются возмущения с длинами волн  $2\pi/q_{j*}$  и  $2\pi/q_j$ , и вклад резонансных колебаний с частотой формы  $q_{j*}$  в суммарный процесс на конечном временном интервале заранее не известен. Какую при этом долю энергии возьмет на себя та или иная мода, зависит от соотношения амплитуд в разложении нагрузки по формам движения, отвечающим этим модам, и от величин групповых скоростей в точках  $q = q_j$ .

Перейдем к решению системы (1.1). Получить оригиналы в явном виде из (1.2) проблематично, поэтому будем искать асимптотику возмущений при больших временах ( $t \rightarrow \infty$ ) с начала действия нагрузки. Для этого воспользуемся методом совместного обращения двукратных интегральных преобразований в окрестности луча  $x = c_{j*}t + \eta$ ,  $\eta = \text{const}$  [2]. При переходе на луч в изображениях  $f^{LF}(p, q)$  искомых функций делается замена  $p = s + iq_j c_{j*} + iq'x/t$  ( $s \rightarrow 0$ ,  $q_j$  принимает значения  $q_{j*}$  или  $\bar{q}_j$ , а  $q'$  — малая величина, определяющая окрестность точек  $q = \pm \bar{q}_j$ , по которой в дальнейшем происходит интегрирование).

Опуская промежуточные выкладки, выпишем полученные асимптотические формулы эволюции возмущений (сохраняя вклад от нерастущих составляющих решения). Когда скорость нагрузки  $c = c_{j*}$  ( $j = 1, 2$ ) соответствует максимуму (минимуму) дисперсионной кривой первой моды, асимптотика ( $t \rightarrow \infty$ ) возмущений имеет вид

$$(1.5) \quad w, W \sim B_{w,W} \left\{ \left( \operatorname{sgn} \eta + \left[ C \left( \frac{\kappa_0^2}{4} \right) + S \left( \frac{\kappa_0^2}{4} \right) \right] \operatorname{sgn} \kappa_0 \right) \cos(q_j \eta) + \left[ C \left( \frac{\kappa_0^2}{4} \right) - S \left( \frac{\kappa_0^2}{4} \right) \right] \operatorname{sgn} \kappa_0 \operatorname{sgn} \varphi_0 \sin(q_j \eta) \right\} + D_{w,W} t^{1/2} [F_1(\kappa) \cos(g_{j*} \eta) + F_2(\kappa) \sin(g_{j*} \eta) \operatorname{sgn} \varphi],$$

$$B_w = - \frac{(A_1 + A_2) f^2 - A_1 q_j^2 c_{j*}^2}{\psi}, \quad D_w = - \frac{(A_1 + A_2) f^2 - A_1 q_{j*}^2 c_{j*}^2}{\chi},$$

$$B_W = - \frac{(A_1 + A_2) f^2 + A_2 (\varepsilon q_j^4 + 1 - q_j^2 c_{j*}^2) h m_0^{-1}}{\psi},$$

$$D_W = - \frac{(A_1 + A_2) f^2 + A_2 (\varepsilon q_{j*}^4 + 1 - q_{j*}^2 c_{j*}^2) h m_0^{-1}}{\chi},$$

$$\eta = x - c_{j*}t, \quad \kappa_0 = (c_{g1}^0 t - x) (|\varphi_0| t)^{-1/2}, \quad \kappa = -\eta (|\varphi| t)^{-1/2},$$

$$\varphi_0 = \frac{1}{2} \frac{dc_{g1}}{dq} \Big|_{q=q_j}, \quad \varphi = \frac{1}{2} \frac{dc_{g1}}{dq} \Big|_{q=q_{j*}}, \quad c_{g1}^0 = c_{g1}(q_j),$$

$$c_{g1} = c_{g1}(q) = [qc_{g1}(q)]'_q, \quad \psi = 2hq_j^4 c_{j*} (c_2^2(q_j) - c_{j*}^2) (c_{g1}^0 - c_{j*}),$$

$$\chi = \pi h q_{j*}^4 c_{j*} (c_2^2(q_{j*}) - c_{j*}^2) |\varphi|^{1/2},$$

$$F_1(\kappa) = \sqrt{\frac{\pi}{2}} \left( \cos\left(\frac{\kappa^2}{4}\right) + \sin\left(\frac{\kappa^2}{4}\right) \right) - \frac{\pi|\kappa|}{2} \left[ C\left(\frac{\kappa^2}{4}\right) - S\left(\frac{\kappa^2}{4}\right) \right],$$

$$F_2(\kappa) = \sqrt{\frac{\pi}{2}} \left( \cos\left(\frac{\kappa^2}{4}\right) + \sin\left(\frac{\kappa^2}{4}\right) \right) - \frac{\pi|\kappa|}{2} \left[ 1 - C\left(\frac{\kappa^2}{4}\right) - S\left(\frac{\kappa^2}{4}\right) \right].$$

Графики  $F_1(\kappa)$  и  $F_2(\kappa)$  показаны на рис. 2 (кривые 1, 2);  $S(z)$ ,  $C(z)$  — интегралы Френеля.

Выражения, аналогичные (1.5), можно получить и в случае соответствия скорости нагрузки минимуму кривой второй моды ( $j = 3$ ). Из (1.5) видно, что второе слагаемое с общим множителем  $D_{w,W}t^{1/2}$  неограниченно растет с увеличением  $t$  и при больших  $t$  определяет, по существу, окончательные величины  $w$  и  $W$ , поскольку выражение в фигурных скобках, стоящее множителем при  $B_{w,W}$ , — ограниченная функция. Для конечных значений  $t$  вклад каждого из двух составных слагаемых асимптотики в суммарную амплитуду можно оценить путем сравнения  $B_{w,W}$  и  $D_{w,W}t^{1/2}$ . Очевидно также, что при определенных значениях некоторых параметров (например,  $A_1$ ,  $A_2$ ) возможна ситуация, когда волновой резонанс длительное время не формируется ( $B_{w,W} > D_{w,W}t^{1/2}$ ), а основная доля энергии переносится волнами с длиной  $2\pi/q_j$ .

Если критическая скорость нагрузки соответствует значению  $c_{1*}$ , определяемому точкой перегиба нижней фазовой кривой, то асимптотическое ( $t \rightarrow \infty$ ) решение записывается следующим образом:

$$(1.6) \quad w, W \sim R_{w,W}t^{2/3}(F_3(\kappa_1) + F_4(\kappa_1)\operatorname{sgn}\varphi_1)\cos(q_{1*}\eta),$$

$$R_w = -\frac{(A_1 + A_2)f^2 - A_1q_{1*}^2c_{1*}^2}{\xi}, \quad \kappa_1 = \eta(|\varphi_1|t)^{-1/3},$$

$$R_W = -\frac{(A_1 + A_2)f^2 + A_2(\varepsilon q_{1*}^4 + 1 - q_{1*}^2c_{1*}^2)hm_0^{-1}}{\xi},$$

$$\xi = \pi h q_{1*}^4 c_{1*} (c_2^2(q_{1*}) - c_{1*}^2) |\varphi_1|^{1/3}, \quad \varphi_1 = \frac{1}{6} \frac{d^2 c_{g1}}{dq^2} \Big|_{q=q_{1*}},$$

$$F_3(\kappa) = \int_0^\infty \frac{\cos \kappa y \sin y^3}{y^3} dy, \quad F_4(\kappa) = \int_0^\infty \frac{\sin \kappa y (1 - \cos y^3)}{y^3} dy.$$

Графики функций  $2F_3(\kappa)$ ,  $2F_4(\kappa)$  представлены на рис. 2 (кривые 3, 4).

Анализируя (1.6), легко установить, что по системе вместе с нагрузкой движется возбужденная ею волна с той же фазовой (и групповой) скоростью и растущей пропорционально  $t^{2/3}$  амплитудой. Степень резонансного роста при этом по сравнению с (1.5) существенно выше, поскольку порядок кривизны дисперсионной кривой в окрестности точки перегиба меньше, чем в окрестности других экстремумов.

Кроме аналитического, использовался и численный метод исследования исходных уравнений (1.1). Применялась явная конечно-разностная схема типа «крест». Численная дисперсия минимизировалась выбором оптимальных параметров сетки, при которых выполняются условия устойчивости счета и фазовые кривые разностной и континуальной моделей в окрестности экстремумов максимально близки. Как показывает сравнение фазовых зависимостей указанных моделей, добиться полного совпадения критических точек  $(q_{j*}, c_{j*})$  возможно лишь при  $\tau, \delta \rightarrow 0$  ( $\tau, \delta$  — шаги сетки по времени).

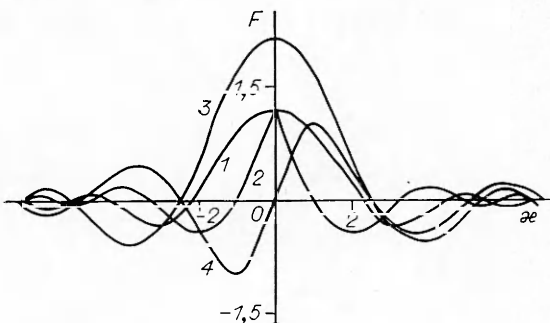


Рис. 2

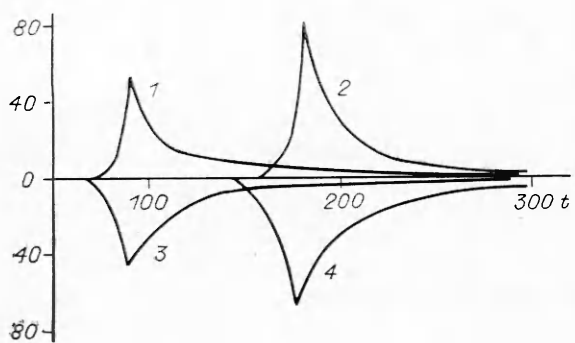


Рис. 3

мума: минимум и максимум (при  $f^2 = 4,9$ ,  $q_{1*} = 9,25$ ,  $c_{1*} = 0,1130$  и  $q_{2*} = 13,45$ ,  $c_{2*} = 0,1163$ ).

На рис. 3—6 представлены осциллограммы прогиба  $w$  оболочки, рассчитанные при  $\tau = \delta = h = 0,05$  и различных значениях скорости  $c_0$  движущейся ступенчатой нагрузки. Статический прогиб  $w_c$  на рис. 6 показан штрихпунктиром (в остальных случаях он не учитывается), пунктир отвечает квазистационарным огибающим. Пиковая амплитуда указана в окрестности максимума каждой приводимой кривой.

Анализ результатов свидетельствует о том, что максимальный резонансный рост ( $\sim t^{2/3}$ ) реализуется, в соответствии с асимптотикой (1.6), в случае  $c_0 = c_{1*} = 0,1100$  ( $f^2 = 3,6$ ), при этом расплывание пакета с несущей частотой  $q_{1*} = 10,98$  минимально и  $\sim t^{1/3}$  (см. рис. 3: огибающие осциллограмм  $w$  в сечениях  $x = 10; 20$  (кривые 1, 2),  $t \leq 300$ ,  $A_1 = 1$ ,  $A_2 = 0$ ). Когда  $c_0 = c_{1*} = 0,1130$ , в системе также возникает волновой резонанс, но здесь изгибные возмущения растут со временем как  $t^{1/2}$ , пакет с частотой формы  $q_{1*} = 9,25$  расплывается тоже пропорционально  $t^{1/2}$  (кривые 3, 4 при указанных выше условиях).

Вместе с тем для тех же расчетных значений времени и  $c_0 = c_{2*} = 0,1163$  резонансный процесс не успевает развиться (см. рис. 4: осциллограммы  $w$  в сечениях  $x = 10; 20$ ,  $t \leq 300$ ,  $A_1 = 1$ ,  $A_2 = 0$ , статический прогиб не учитывается). При этом зафиксировано максимальное расплывание пакета волн, в котором вклад «резонансной» частоты формы ( $q_{2*} = 13,45$ ) мал, зато преобладает волна с частотой  $q_2$ , групповая скорость которой существенно меньше. При сопоставлении численных и аналитических результатов обнаруживается приемлемое качественное и количественное соответствие, которого, очевидно, не наблюдалось бы при от-

ни и координате), поэтому в численных расчетах значение  $c_{j*}$  берется из разностного дисперсионного соотношения — штриховые линии на рис. 1 ( $\tau = \delta = h = m_0 = 0,05$ ). Вторая мода в любом случае имеет минимум (например, для  $f^2 = 3,6$   $q_{3*} = 14,45$ ,  $c_{3*} = 0,2610$ ), а первая мода при  $f^2 < 3,6$  не имеет особых точек, при  $f^2 = 3,6$  имеет точку перегиба ( $q_{1*} = 10,98$ ,  $c_{1*} = 0,1100$ ) и при  $f^2 > 3,6$  — две точки экстремума: минимум и максимум (при  $f^2 = 4,9$ ,  $q_{1*} = 9,25$ ,  $c_{1*} = 0,1130$  и  $q_{2*} = 13,45$ ,  $c_{2*} = 0,1163$ ).

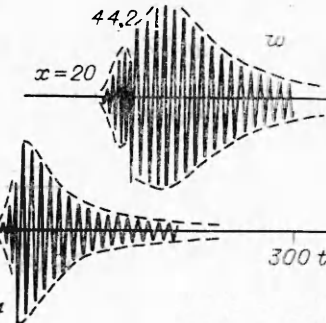


Рис. 4

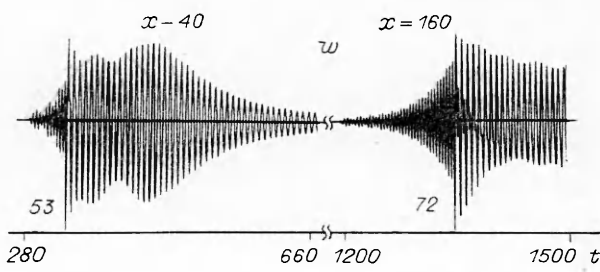


Рис. 5

существии в (1.5) нерастущего слагаемого, дающего весьма существенный вклад на начальном этапе. Задержка в развитии резонанса в исследуемой ситуации может быть довольно длительной. Это подтверждают, в частности, полученные с использованием асимптотического решения (1.5) осциллограммы  $w$  (см. рис. 5) в сечениях  $x = 40; 160$  ( $t \leq 1500$ ,  $A_1 = 1$ ,  $A_2 = 0$ ), из которых видно, что изгиблые возмущения с «резонансной» частотой формы  $q_{2*} = 13,45$  (передняя группа) начинают реально проявляться лишь при относительно больших значениях времени (или на большом расстоянии от плоскости  $x = 0$ ).

Если при  $c_0 = 0,1163$  рассмотреть одновременное нагружение оболочки и амортизированных масс и при этом подобрать значения амплитуд  $A_1$  и  $A_2$  так, чтобы в асимптотике (1.5) множитель  $B_w$  стал равен нулю, то можно минимизировать влияние возмущений с «нерезонансной» частотой формы  $q_j$  на формирование результирующего волнового пакета и развитие резонанса в системе.

Процесс «задержки» резонанса реализуется и при  $c_0 = c_{3*} = 0,2610$  (см. рис. 6: осциллограммы  $w$  в сечениях  $x = 10; 20$ ,  $t \leq 300$ ,  $A_1 = 1$ ,  $A_2 = 0$ ). Здесь в основном возбуждается первая мода, возмущения, отвечающие ей, описываются простой асимптотикой:  $w = w^0(1 - \cos q_3 \times c_{3*} t)$ , которая соответствует предельному случаю  $c_0 \rightarrow \infty$ .

Обобщая приведенные результаты, отметим, что в механической системе, для которой дисперсионный анализ выявляет при одной и той же фазовой скорости  $c_{j*}$  распространения возмущений существование нескольких волновых чисел  $q_{j*}$  и  $q_j$ , возможна длительная задержка в формировании волнового резонанса, возбуждаемого нагрузкой, движущейся с критической скоростью  $c_0 = c_{j*}$ . Таким образом, при построении асимптотических оценок ( $t \rightarrow \infty$ ) возмущений, распространяющихся в системе, целесообразно сохранить и «нерастущие» слагаемые, поскольку только в этом случае можно получить адекватное описание исследуемого волнового процесса на конечном интервале времени, что требуется в практических задачах.

#### ЛИТЕРАТУРА

- Слепян Л. И. Резонансные явления в пластинах и оболочках при бегущей нагрузке // Тр. VI Всесоюз. конф. по теории оболочек и пластинок.— М.: Наука, 1966.
- Слепян Л. И. Нестационарные упругие волны.— Л.: Судостроение, 1972.
- Пинчукова Н. И., Степаненко М. В. Низкочастотные резонансные волны в цилиндрической оболочке с присоединенными массами // ФТПРПИ.— 1979.— № 4.
- Александрова Н. И., Поташников И. А., Степаненко М. В. Изгибные резонансные волны в цилиндрической оболочке при движущейся нагрузке // ПМТФ.— 1989.— № 3.
- Кадыров Т. К., Поташников И. А., Степаненко М. В. Резонансное взаимодействие пластин и оболочек со средой при бегущей нагрузке // Тр. XIV Всесоюз. конф. по теории пластин и оболочек, Тбилиси, 1987.— Т. 2.

г. Новосибирск

Поступила 30/XII 1988 г.,  
в окончательном варианте — 13/IV 1989 г.

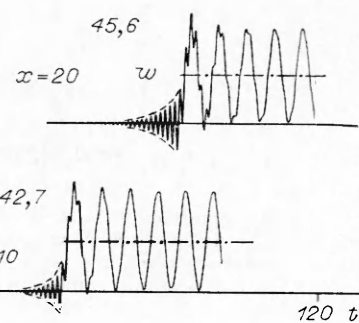


Рис. 6